

بررسی اثر سرعت چرخش و غلظت PbI_2 در لایه نشانی دو مرحله‌ای چرخشی-چرخشی و بررسی خواص فیزیکی آن $CH_3NH_3PbI_3$

رجب بلوکات، رضا^۱; معماریان، نفیسه^۱

^۱دانشکده فیزیک دانشگاه سمنان، سمنان

چکیده

لایه های نازک متیل آمونیوم سرب یدید ($MAPbI_3$) بر روی زیر لایه شیشه با روش لایه نشانی دو مرحله‌ای چرخشی-چرخشی تهیه شدند. نمونه‌ها با غلظت‌های مختلف برای PbI_2 و همچنین سرعت‌های چرخش متفاوت تولید شدند. میزان جذب و گاف نواری لایه‌ها بررسی شد. همچنین اندازه ذرات، کرنش شبکه و چگالی نقص لایه‌ها با استفاده از تحلیل XRD محاسبه شد. نتایج نشان داد که لایه‌های ضخیم‌تر ساختار و بلورینگی بهتری دارند و همچنین سرعت‌های ۲۰۰۰ و ۴۰۰۰ rpm در هر غلظت بهترین نتایج جذب و مناسب‌ترین گاف نواری را دارا می‌باشند.

The effect of spin speed and concentration of PbI_2 in $CH_3NH_3PbI_3$ two step spin coating deposition and investigation of phisical properties

Rajab Bolookat, Reza¹; Memarian, Nafiseh¹

¹ Department of Physics, Semnan University, Semnan,

Abstract

The thin films of Methyl ammonium lead iodide ($MAPbI_3$) have been deposited on glass substrate by two step spin coating (spin-spin) deposition method. The samples were provided with different concentrations and also different spin speeds for PbI_2 . The light absorbtion and band gap were investigated and also crystallite size, strains of lattice and dislocation density were obtained by XRD analysis. The results showed that thicker layers have a better structure and crystallinity. The amount of light absorbtion for 2000 rpm and 4000 rpm spin speed have the best results for each concentration.

PACS No. 73

مقدمه
یک نیمرسانای آلی-معدنی و دارای $MAPbI_3$, $CH_3NH_3PbI_3$

ساختر پروسکایتی است که CH_3NH_3 کاتیون آلی و Pb به عنوان کاتیون فلزی آن هستند [۴].

روش‌های گوناگونی برای ساخت لایه‌های نازک $MAPbI_3$ با کیفیت بالا وجود دارد که می‌توان به روش چرخشی تک مرحله‌ای، روش تبخیر شیمیایی و روش‌های چرخشی دو مرحله‌ای مثل چرخشی-چرخشی یا چرخشی-غوطه‌وری اشاره کرد [۴].

در سال‌های اخیر استفاده از $MAPbI_3$ و لایه‌های نازک آن در سلول‌های خورشیدی آلی-معدنی به عنوان جاذب نور خورشیدی

ساختر عمومی پروسکایت‌ها به صورت AMX_3 بیان می‌شود که A یک کاتیون آلی یا معدنی، M به عنوان یک کاتیون فلزی و X یک آئیون از جنس هالوژن‌ها است [۱]. سه ساختار مکعبی، تتراگونال و اورتورومیک برای پروسکایت-ها شناخته شده‌اند، که تغییرات بین این فازها وابسته به دما است [۲].

۳۰۰۰، ۴۰۰۰ و ۴۵۰۰ دور بر دقیقه به مدت ۳۰ ثانیه لایه نشانی انجام شد. لایه‌ها در دمای ۷۰ به مدت ۱۰ دقیقه خشک شد و سپس محلول MAI بر روی لایه قبلی با دور ۲۰۰۰ rpm به مدت ۳۰ ثانیه لایه نشانی شد. لایه‌ها در دمای ۹۰ به مدت ۳۰ دقیقه در داخل آون بازپخت شد تا لایه پروسکاتیت MAPbI_3 شکل گیرد. بعد از بازپخت لایه‌ها برای بررسی عبور و جذب نمونه‌ها از دستگاه UV-visible Perkin Elmer مدل Lambda25 استفاده شد. و همچنین برای بررسی مشخصات ساختاری لایه‌ها تست شد. و استفاده از دستگاه XRD D8 Bruker از نمونه‌ها گرفته شد.

تحلیل نتایج

نمودار عبور برای نمونه‌ها با دورهای مختلف در غلظت‌های متفاوت در شکل ۱ آورده شده است.

همانطور که در نمودارها کاملاً مشخص است هر چه سرعت لایه نشانی افزایش پیدا می‌کند و لایه‌ها نازک تر می‌شوند میزان عبور نمونه‌ها بیشتر می‌شود. و همچنین با افزایش غلظت و ضخامت لایه، رفتار نمودار در نزدیکی لبه جذب یعنی در اطراف طول موج ۷۵۰ نانومتر بهتر می‌شود.

با استفاده از رابطه تاک و نمودارهای عبور در شکل ۱ مقدار گاف نواری برای نمونه‌ها محاسبه شد و در جدول ۱ آورده شده است. به عنوان مثال در شکل ۱-ج نمودار گاف نواری محاسبه شده برای نمونه غلظت 450 mg/ml با دور 4000 rpm از 450 mg/ml با دور 2000 rpm بیشتر است [۶].

موردن توجه محققین قرار گرفته است. از ویژگی‌های منحصر به فرد این مواد نیمرساناً می‌توان به قابلیت جذب بالای نور، رسانندگی الکترون حفر، تحریک پذیری حامل‌های بار، پایداری بالا، ویژگی‌های اپتیکی قابل تنظیم و گاف نواری مستقیم در حدود $1/5 \text{ eV}$ اشاره کرد. از سوی دیگر ساخت سلول‌های خورشیدی پروسکاتیتی نسبتاً ساده و ارزان است [۵].

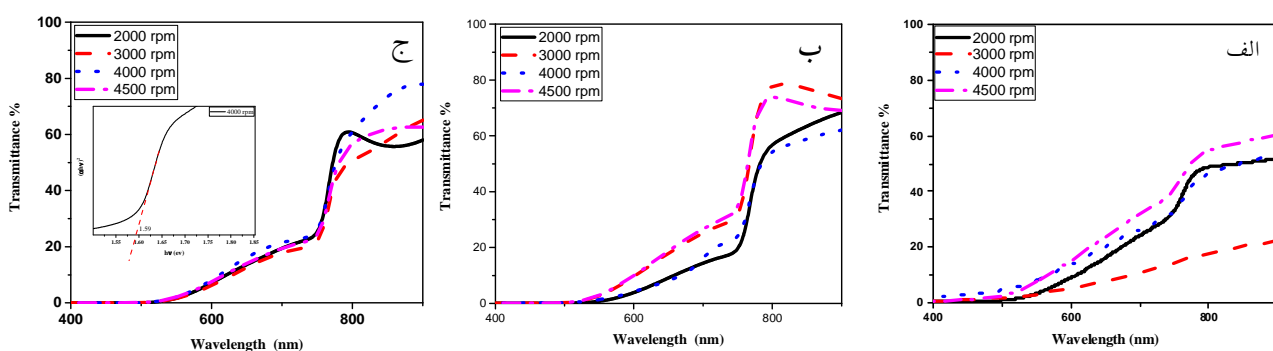
در این تحقیق به دنبال ساخت لایه نازک MAPbI_3 با روش دو مرحله چرخشی-چرخشی و بررسی خواص ساختاری و جذب اپتیکی لایه‌ها هستیم.

روش آزمایش

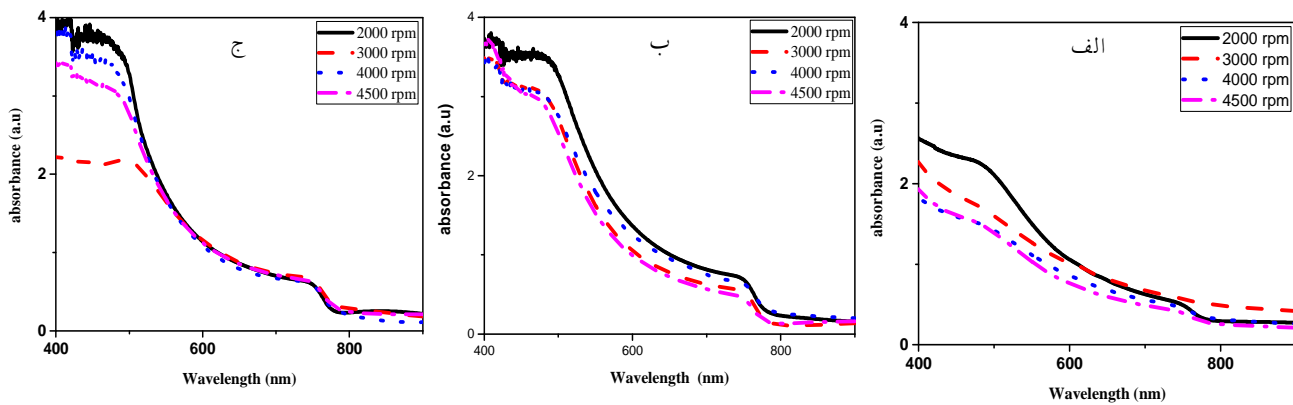
لایه‌های MAPbI_3 با روش لایه نشانی چرخش پوشش و به صورت دو مرحله‌ای چرخشی-چرخشی بر روی زیر لایه‌هایی از جنس شیشه صورت گرفت.

برای لایه نشانی از دو پیش ماده PbI_2 و $\text{CH}_3\text{NH}_3\text{I}$ (MAI) با غلظت‌های مختلف 250 ، 250 و 450 mg/ml در حلal DMF تهیه شد و به مدت یک شب در دمای 70°C در چه هم خورد تا محلول پایدار و شفاف بdest آید. محلول MAI با غلظت 25 mg/ml در حلal 2-propanol 2-تھیه شد و به مدت چند ساعت هم خورد تا کاملاً پایدار و شفاف شود. زیر لایه‌های شیشه برش خورده و با آب دیونیزه و اتانول و استون در دستگاه فرآصوت کاملاً شسته و در ظرف در بسته در دمای محیط کاملاً خشک شد.

لایه نشانی با دستگاه چرخش پوشش انجام شد، به این صورت که ابتدا محلول PbI_2 بر روی زیر لایه ریخته شد و با دورهای 2000 ، 3000 ، 4000 و 4500 rpm



شکل ۱: نمودار عبور مربوط به دورهای مختلف (الف) غلظت 250 mg/ml (ب) غلظت 450 mg/ml (ج) غلظت 450 mg/ml



شکل ۲: نمودار جذب مربوط به دور های مختلف (الف) غلظت 250 mg/ml (ب) غلظت 350 mg/ml (ج) غلظت 450 mg/ml

بررسی طیف پراش

نمودار پراش برای لایه PbI_2 و بهترین نمونهای غلظت ها در شکل ۳ رسم شده است.

لایه PbI_2 با محلول 450 mg/ml گرم بر میلی لیتر تهیه شده است و بعد از لایه نشانی بر روی هات پلیت در دمای 70°C درجه قرار گرفت تا کاملا خشک شود.

و همچنین نمونه 4000 rpm دور برای غلظت های 400 mg/ml و 350 mg/ml گرم بر میلی لیتر و نمونه 2000 rpm دور برای غلظت 250 mg/ml گرم بر میلی لیتر به عنوان بهترین نمونه ها انتخاب شد که نمودار پراش آنها در شکل ۳ رسم شده است.

	2000 rpm	3000 rpm	4000 rpm	4500 rpm
250 mg/ml	$1/56\text{eV}$	$1/6\text{eV}$	$1/54\text{eV}$	$1/55\text{eV}$
350 mg/ml	$1/59\text{eV}$	$1/6\text{eV}$	$1/59\text{eV}$	$1/6\text{eV}$
450 mg/ml	$1/6\text{eV}$	$1/59\text{eV}$	$1/59\text{eV}$	$1/59\text{eV}$

جدول ۱: مقادیر گاف نواری بدست آمده از منحنی عبور برای برای غلظت های مختلف

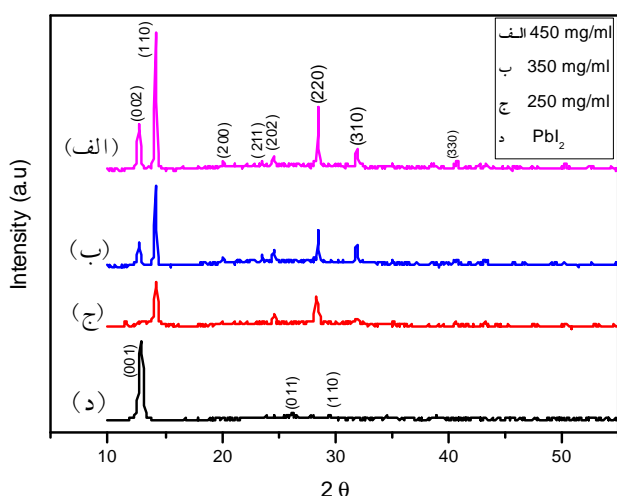
برای بررسی بیشتر طیف جذب نمونه ها هم گرفته شد، که نمودار مربوط به غلظت های مختلف در شکل ۲ آورده شده است.

همانطور که در نمودارهای جذب نمونه ها مشاهده می کنیم لایه های پروسکایت پهنهای جذب خیلی خوبی در طول موج های ناحیه نور مرئی (یعنی طول موج بین (400 nm) تا (800 nm)) دارا می باشد. و در بیشتر طیف های مرئی جذب بالایی دارد.

که همین امر باعث مناسب بودن این لایه ها به عنوان جاذب نور در سلول های خورشیدی می شود.

و همچنین بر اساس نمودار جذب نمونه ها هر چه غلظت PbI_2 افزایش میابد لایه ها ضخیم تر شده در نتیجه مقدار جذب لایه افزایش میابد.

بر اساس نمودارهای UV در هر غلظت بهترین لایه ها مربوط به دورهای 4000 rpm و 2000 rpm است و همچنین برای جذب بهتر لایه های با غلظت بالاتر مناسب تر است. به همین دلیل بهترین لایه ها با دورهای 2000 rpm و 4000 rpm برای تست XRD انتخاب شد.



شکل ۳: منحنی پراش (الف) نمونه 4000 rpm دور، 450 mg/ml (ب) نمونه 4000 rpm دور، 350 mg/ml (ج) نمونه 4000 rpm دور، 250 mg/ml (د) نمونه 2000 rpm دور، 250 mg/ml

نتیجه گیری

لایه‌های نازک $\text{CH}_3\text{NH}_3\text{PbI}_3$ بر روی زیرلایه‌های شیشه با روش دو مرحله‌ای چرخشی-چرخشی با دو پیش ماده PbI_2 و MAI و با دورها و غلظت‌های متفاوت برای PbI_2 لایه نشانی شد. برای بررسی بیشتر تست UV و XRD از نمونه‌ها گرفته شد. در هر غلظت با بررسی دورهای مختلف مشخص شد که برای دورهای ۲۰۰۰ rpm و ۴۰۰۰ rpm لایه‌ها جذب بالاتر و بهتری دارند، و همچنین با افزایش غلظت PbI_2 ضخامت لایه افزایش یافته در نتیجه جذب لایه افزایش می‌یابد.

با انجام تست XRD مشخص شد که ساختار MAPbI_3 برای تمام نمونه‌ها در فاز تتراتگونال تشکیل شده است. همچنین با افزایش غلظت PbI_2 اندازه ذرات افزایش و کرنش شبکه و چگالی نقص-ها کاهش می‌یابد که بهتر شدن بلورینگی لایه می‌انجامد.

مرجع‌ها

- [۱] Mitzi DB; "Templating and structural engineering in organic-inorganic perovskites"; *J Chem Soc Dalton Trans* **1** (2001) 1-12
- [۲] Kawamura Y, Mashiyama H, Hasebe K; "Structural study on cubic-tetragonal transition of $\text{CH}_3\text{NH}_3\text{PbI}_3$ "; *J Phys Soc Jpn* **71** (2002) 1694-1697
- [۳] Yamada K, Kawaguchi H, Matsui T et al "Structural phase-transition and electrical-conductivity of the perovskite $\text{CH}_3\text{NH}_3\text{Sn}_1\text{-xPb}_x\text{Br}_3$ and CsSnBr_3 "; *Bull Chem Soc Gpn* **63** (1990) 2521-2525
- [۴] Wang, Qiong, Hongjun Chen, Gang Liu, and Lianzhou Wang. "Control of organic-inorganic halide perovskites in solid-state solar cells: a perspective." *Science Bulletin* **60**, no. 4 (2015): 405-418.
- [۵] Park, Nam-Gyu. "Perovskite solar cells: an emerging photovoltaic technology." *Materials Today* **18**, no. 2 (2015): 65-72.
- [۶] Elangovan, E., and K. Ramamurthi. "A study on low cost-high conducting fluorine and antimony-doped tin oxide thin films." *Applied Surface Science* **249**, no. 1 (2005): 183-196.
- [۷] Baikie, Tom, Yanan Fang, Jeannette M. Kadro, Martin Schreyer, Fengxia Wei, Subodh G. Mhaisalkar, Michael Graetzel, and Tim J. White. "Synthesis and crystal chemistry of the hybrid perovskite ($\text{CH}_3\text{NH}_3\text{PbI}_3$) for solid-state sensitised solar cell applications." *Journal of Materials Chemistry A* **1**, no. 18 (2013): 5628-5641.
- [۸] Kong, Weiguang, Zhenyu Ye, Zhen Qi, Bingpo Zhang, Miao Wang, Arash Rahimi-Iman, and Huizhen Wu. "Characterization of an abnormal photoluminescence behavior upon crystal-phase transition of perovskite $\text{CH}_3\text{NH}_3\text{PbI}_3$." *Physical Chemistry Chemical Physics* **17**, no. 25 (2015): 16405-16411.
- [۹] Malliga, P., J. Pandiarajan, N. Prithivikumaran, and K. Neyvasagam. "Influence of film thickness on structural and optical properties of sol-gel spin coated TiO_2 thin film." *J Appl Phys* **6** (2014): 22-28.

بعد از بازپخت نمونه‌ها در دمای ۹۰ به مدت ۲۰ دقیقه و با توجه به نمودار پراش، پیک‌های اصلی در زوایای تقریبی ۱۴/۲، ۲۸/۵ و ۱۲/۷ درجه به وجود می‌آیند که با دسته صفحات (۱۱۰)، (۲۲۰)، (۰۰۲) در فاز تتراتگونال برای MAPbI_3 یکسان می‌باشد [۷و۸]. در نمودار غلظت 250 mg/ml یک پیک در زاویه ۱۱/۵ درجه مشاهده می‌شود که مربوط به PbI_2 است که با افزایش غلظت PbI_2 در نمونه‌های غلیظتر از بین می‌رود. و همچنین دسته صفحاتی مثل (۰۰۲)، (۲۱۱)، (۰۰۰) و (۳۱۰) یا شدت پایینی دارند یا غایب هستند که با افزایش غلظت این صفحات مشخص شده و رشد می‌کنند.

با افزایش غلظت پهنه‌ای پیک‌ها در نیمه ارتفاع بیشینه کاهش می‌ابد که منجر به افزایش اندازه بلورک‌ها می‌شود. با توجه به منحنی پراش می‌توان پارامترهای اندازه ذرات (D)، کرنش شبکه (ε) و چگالی نقص (δ) را با توجه به روابط ۱، ۲ و ۳ بدست آورد [۹].

$$D = \frac{0.92}{\beta \cos \theta} \quad (1)$$

$$\epsilon = \frac{\beta}{4} \quad (2)$$

$$\delta = \frac{1}{D^2} \quad (3)$$

در روابط بالا λ طول موج اشعه ایکس تابشی (۱/۵۴ nm)، β پهنه‌ای پیک در نیمه بیشینه ارتفاع و θ زاویه برآگ مربوط به پیک ناشی از پراش است.

چگالی نقص 10^{-15} m^{-2}	کرنش (10^{-4})	اندازه ذرات (nm)	غلظت mg/ml
۱	۱۱/۰۸	۳۱/۲۹	۲۵۰
۰/۶	۸/۳۱	۴۱/۷	۳۵۰
۰/۶	۸/۳۱	۴۱/۷	۴۵۰

جدول ۲: مقادیر اندازه بلورک‌ها، کرنش و چگالی نقص برای غلظت‌های مختلف PbI_2

با توجه به جدول ۲ کرنش و چگالی نقص با افزایش غلظت کاهش پیدا می‌کند.